

Cl Ha

1941

(C.R.I.)

all. size ad

Boyd R.Y.

Whitehead M.A.

J. Chem. Soc.,

1941

1941, A, no 2, 3549.

(C.R. BII) IV

Сравнение орбет. энергии и кинематик  
конформных изоморфизмов (24).

Система изотропов.

И-102 Орбет. I II III IV Энерг.

CH <sub>2</sub>	Og	9.17	9.10	10.08 (a <sub>1</sub> ), 9.44 (a <sub>1</sub> )
	Td	13.81	12.66	13.77 (B <sub>1</sub> ) 12.82 (B <sub>1</sub> )
				13.86 (a <sub>1</sub> ) 13.60 (a <sub>1</sub> )
	Ou	16.24	16.25	16.96 (B <sub>2</sub> ) 16.26 (B <sub>2</sub> )
	Og	24.55	31.12	26.62 (a <sub>1</sub> ) 30.05 (a <sub>1</sub> )

CH<sub>2</sub>

X4 - 11224

1975.

Schwarz et al.,

(AH<sup>+</sup>, Ei  
T; cbfa)

Chem. Phys., 1975

11 N2, 217-28

70325.1725

40892

1977

MeI,Ch,Ph,TC

Cl + H<sub>2</sub>

4-17654

K p.N 70325.1724

Schatz George C., Ross John. Franck-condon factors in studies of dynamics of  
chemical reactions. II. Vibration-rotation  
distributions in atom-diatom reactions.

"J.Chem.Phys.", 1977, 66, N3, 1037-1053

(англ.)

0839-зин

8II 822 830,

ВИНИТИ

Holt<sup>t</sup> 02222222 6048 1978

E, manuscript,  
Rec'd. J. J., 11/0  
Holt, 10/10/78  
Yargenssen W. L.  
J. Amer. Chem. Soc.  
1978, 100(4), 1057 - 68

H<sub>2</sub>Cl

Lomonosov 8474 | 1979

Carey P., et al.

Geology,

Geophysics Y. Mol. Street.

1979, 54, 247 - 255

H<sub>2</sub>Cl

Chemical 10071

1980

V 93: 138259t Semi-empirical potential energy surfaces for the reactions atomic hydrogen + hydrogen chloride → diatomic hydrogen + atomic chlorine and atomic hydrogen (H') + hydrogen chloride → hydrogen chloride (H'Cl) + atomic hydrogen. Last, I.; Baer, M. (Dep. Theor. Phys. Appl. Math., Soreq Nuel. Res. Cent., Yavne, Israel). *Chem. Phys. Lett.* 1980, 73(3), 514-18 (Eng). The H + HCl potential surfaces for both reaction channels are caled. by a modified diatomics-in-mols. method including three-center mol. integrals. Using the same adjustable parameters as for the FH<sub>2</sub> system, authors obtain barrier height of 5.2 kcal/mol (abstraction) and 14.2 kcal/mol (exchange). Changing one adjustable parameter only and fitting the exptl. difference between the activation energies of the two reaction channels, they obtain 4.9 and 3.9 kcal/mol resp. for the abstraction and exchange barrier heights.

V<sub>0</sub>,  
homologues  
nobef VIII.

C.A. 1980, 93, N14

CH<sub>2</sub>

[Ottawa 12280] 1981.

Last Y., et al.

Kb. seek.  
paetem  
nomdes.  
Heppus  
nobegut.

J. Chem. Phys., 1981, 75  
(1) 288-299

ClH<sub>2</sub>

1981

Pandey R. P., et al.

pacuum,  
u. n.

Indian J. Chem., 1981,  
A20, N6, 592 - 593.

(ccs. LiH<sub>2</sub>;  $\text{II}$ ).

$\text{CH}_2^+$

1983

Botschwina Peter.

meop.

pacreev

romeres.

9-иц

4 колебац.

состоит из

NATO Adv. Sci. Inst.

Ser., Ser B 1983, 90,

. 411-14.

(см.  $\text{FH}_2^+$ ; III)

Hall<sup>+</sup> [OM. 31072] 1985

De Frees D.J., McLean A.D.  
et al.,

Di; J. Chem. Phys. 1985, 82,  
N1, 333-341.

H<sub>2</sub>Cl

Occ. 24190

1986

Baird N.C., Hadley G.C.

Сирийск-  
Хосеев,  
Миро.  
Прек-  
Сказак.

Chem. Phys. Lett.,  
1986, 128, N1, 31-37.

$\text{ClH}_2^+$

1986

~ 19 Б1307. Модулированная магнитным полем инфракрасная лазерная спектроскопия полосы  $v_2$  иона хлорония ( $\text{ClH}_2^+$ ). Magnetic field modulated infrared laser spectroscopy of the chloronium  $\text{ClH}_2^+$  ion  $v_2$  band. Kawaguchi Kentaro, Hirota Eizi. «J. Chem. Phys.», 1986, 85, № 12, 6910—6913 (англ.) Место хранения ГПНТБ СССР

На диодном лазерном спектрометре с модуляцией поглощения магнитным полем исследован ИК-спектр поглощения в обл. 1000—1350  $\text{см}^{-1}$  молек. иона  $\text{ClH}_2^+$ , полученного из смеси  $\text{H}_2 + \text{He} + \text{HCl}$  в полом катоде. Идентифицировано 148 линий вращат. структуры полосы  $v_2$  ионов  $^{35}\text{ClH}_2^+$  ( $v_2 = 1184, 1256 \text{ см}^{-1}$ ) и  $^{37}\text{ClH}_2^+$  ( $v_2 = 1183, 2165 \text{ см}^{-1}$ ). Определены значения вращат. постоянных и постоянных квартичного и секстичного центробежного искажения для основного и возбужденного колебат. состояний этих ионов. Вычислены эффективные величины структурных параметров иона  $\text{ClH}_2^+$ :  $\text{Cl}-\text{H}=1,3135 \text{ \AA}$ ,  $\text{HClH}=94,3^\circ$ . Е. В. Алиева

М.Н.

Х. 1987, 19, N 19

$\text{ClH}_2^+$

1986

106: 75205m Magnetic field modulated infrared laser spectroscopy  
of the chloronium  $\text{ClH}_2^+$  ion  $r_1$  band, Kawaguchi, Kentarou;  
Hirota, Eizi (Inst. Mol. Sci., Okazaki, Japan 444). *J. Chem. Phys.*  
1986, 85(12), 6910-13 (Eng).  $\text{ClH}_2^+$  was detected in the gas phase  
by IR diode laser spectroscopy with magnetic field modulation. The  
ion was generated by a hollow-cathode discharge in an  $\text{H}_2$ , He, and  
 $\text{HCl}$  mixt. One hundred and forty eight lines were obsd. between  
1040-1330  $\text{cm}^{-1}$ , of which 99 and 25 were assigned to the  $\nu_2$   
fundamental bands of  $^{35}\text{ClH}_2^+$  and  $^{37}\text{ClH}_2^+$ , resp. The obsd. spectra  
were analyzed by using Watson's  $A$ -reduced Hamiltonian to det. the  
band origins [ $\nu_2(^{35}\text{ClH}_2^+) = 1184.1256(2) \text{ cm}^{-1}$ ,  $\nu_2(^{37}\text{ClH}_2^+) = 1183.2165(13)$   
 $\text{cm}^{-1}$ ] and rotational and centrifugal distortion consts. The  $r_0$   
structure was calcd. for  $^{35}\text{ClH}_2^+$ :  $r_0(\text{H}-\text{Cl}) = 1.3135(87) \text{ \AA}$  and  
 $\theta_0(\text{HClH}) = 94.3(12)^\circ$  with std. errors in parentheses.

08 May 1987  
by Ray Page

20, 4 HClH,

Di

C.A. 1987, 106, N10

$H_2 Cl^+$

1986

Chrysostomos -  
McLafferty.

105: 105139s Simplest chloronium radical. A neutralization-reionization mass spectrometry study. Wesdemiotis, Chrysostomos; Feng, Rong; McLafferty, Fred W. (Chem. Dep., Cornell Univ., Ithaca, NY 14853-1301 USA). *J. Am. Chem. Soc.* 1986, 108(18), 5656-7 (Eng).  $H_2 Cl^+$  from HCl in a chem. ionization (CI) ion source are neutralized with Hg vapor to produce  $H_2 Cl$  radicals. Some of these survive for nearly  $10^{-6}$  s to yield upon He reionization  $H_2 Cl^+$  and fragment ions.  $H_2 Cl$  is the simplest nonperdeuterated hypervalent radical with a significant obsd. exptl. lifetime in the neutralization-reionization mass spectra of the isotopically labeled precursors,  $[DCl^+] \gg [H_2 Cl^+] > [D_2 Cl^+]$ , and these abundances are dependent on the CI source pressure. To explain these data, the HClH structure initially formed in chem. ionization may rearrange under low pressure conditions to a more stable isomer; this on neutralization yields the stable chloronium radical, suggesting the structure HHCl.

c.A.1986, 105, N 12

$H_2 Cl^+$

1987

Nordholm S.

Austral. J. Chem.,

1987, 40, N 8, 1468-  
-1470.

(c.u.  $NH_3$ ; (ii))

M.N.

Hall<sup>+</sup>

(OM-26576)

1987

Sears T. G.,

Будшор.  
эксперим.  
исследов.

J. Chem. Soc. Faraday  
Trans., 1987, Pt 2, 83,  
N1, 111-126.

$H_2 Cl^+$

(OM. 31142)

1988

Botschwina P.,

Di,  
ab initio  
porcrem  
cmipykm.

J. Chem. Soc. Faraday  
Trans. 2. 1988, 84(9),  
1263-76.

$MgCl^+$  (Mr 29.252) 19.88

Hirota E.

UK Philos. Trans. R. Soc.  
eazeph. London, A 1988, 324  
erenkmp. (1578), 131-9.

(c.c.  $FHF^-$ ; ii)

$H_2Cl^+$

OM. 30328

1988

110: 15270b Difference-frequency laser spectroscopy of the  $\nu_1$  and  $\nu_3$  fundamental bands of chloronium ion ( $H_2Cl^+$ ): determination of the equilibrium molecular structure. Lee, Sang K.; Amano, T.; Kawaguchi, K.; Oldani, M. (Herzberg Inst. Astrophys., Natl. Res. Coun., Ottawa, ON Can. K1A 0R6). *J. Mol. Spectrosc.* 1988, 130(1), 1-19. (Eng). The gas-phase spectra of the  $\nu_1$  and  $\nu_3$  fundamental bands of  $H_2Cl^+$  were obstd. with a difference-frequency laser spectrometer at 2525-2755  $cm^{-1}$ . The ions were generated in a hollow cathode discharge through a gas mixt. of HCl and H<sub>2</sub>. A simultaneous least-squares anal. of the  $\nu_1$  and  $\nu_3$  bands with an effective vibration-rotation Hamiltonian including Coriolis interaction between the  $\nu_1 = 1$  and  $\nu_3 = 1$  states yielded the band origins (2643.2200 and 2630.1404  $cm^{-1}$  for the  $\nu_1$  and  $\nu_3$  of  $H_2^{35}Cl^+$ , and 2641.4931 and 2628.1065  $cm^{-1}$  for the  $\nu_1$  and  $\nu_3$  of  $H_2^{37}Cl^+$ , resp.), the rotational consts., and the centrifugal distortion consts. for the ground and excited states. The equil. mol. structure was detd. as  $r_c(H-Cl) = 1.30412(17)$  Å and  $\theta_c(H-Cl-H) = 94.243(27)^\circ$  for  $H_2^{35}Cl^+$  and  $r_c(H-Cl) = 1.30411(17)$  Å and  $\theta_c(H-Cl-H) = 94.244(26)^\circ$  for  $H_2^{37}Cl^+$ .

P<sub>1</sub>, P<sub>3</sub>,  
CMYKmagenta  
Japanemps

C.A. 1989, 110, N2

М2С

ОП 30 328 1988

24 Б1390. Лазерная спектроскопия разностной частоты фундаментальных полос  $v_1$  и  $v_3$   $\text{H}_2\text{Cl}^+$ . Определение равновесной молекулярной структуры. Difference-frequency laser spectroscopy of the  $v_1$  and  $v_3$  fundamental bands of  $\text{H}_2\text{Cl}^+$ . Determination of the equilibrium molecular structure. Lee S. K., Amano T., Kawaguchi K., Oldani M. «J. Mol. Spectrosc.», 1988, 130, № 1, 1—19 (англ.)

С высокой точностью ( $\sim 0,001 \text{ см}^{-1}$ ) измерены колебательно-вращат. переходы в обл. фундаментальных полос  $v_1$  и  $v_3$  ( $2525$ — $2755 \text{ см}^{-1}$ ) ионов  $\text{H}_2^{35}\text{Cl}^+$  и  $\text{H}_2^{37}\text{Cl}^+$ . Ионы образовывались в модулированном разряде через смесь  $\text{H}_2/\text{HCl}$  (давл. 0,7 и 0,02 мм). Использовался лазерный спектрометр разностной частоты. Начала полос соотв. при  $2643$ ,  $2200$  и  $2630$ ,  $1404 \text{ см}^{-1}$  ( $\text{H}_2^{35}\text{Cl}^+$ );  $2641,4931$  и  $2628,1065 \text{ см}^{-1}$  ( $\text{H}_2^{37}\text{Cl}^+$ ). Для обоих изотопомеров приведены положение и отнесение наблюдавшихся переходов; значения вращат. постоянных

М.Л.

Х.1988, № 24

$(A, B, C)$  и параметров центробежного искажения (вплоть до секстичных членов приведенного гамильтонiana Ватсона  $A$ -типа в  $I^r$  представлении) в основном и возбужденном колебат. состояниях; параметры кориолисова взаимодействия ( $h_{13}$  и  $h_{13}'$ ); параметры колебательно-вращат. взаимодействия ( $\alpha_A, \alpha_B, \alpha_C$ ). Равновесные значения  $A_e : B_e, C_e$  и геометрич. параметры  $R_e$  ( $H-Cl$ ) и  $\Theta_e$  ( $HClH$ ) равны:  $H_2^{35}Cl^+$  — 11,22835; 9,15450; 5,04582  $cm^{-1}$ ; 1,30412 Å, 94,243°;  $H_2^{37}Cl^+$  — 11,19572; 9,15463; 5,03918  $cm^{-1}$ ; 1,30411 Å; 94,244°.

В. М. Ковба

ную

$H_2 Cl^+$

1988

J 12 Л170. Разностно-частотная лазерная спектроскопия основных полос  $\nu_1$  и  $\nu_3$   $H_2Cl^+$ : определение равновесной молекулярной структуры. Difference-frequency laser spectroscopy of the  $\nu_1$  and  $\nu_3$  fundamental bands of  $H_2Cl^+$ : determination of the equilibrium molecular structure. Lee Sang K., Amano T., Kawaguchi K., Oldani M. «J. Mol. Spectrosc.», 1988, 130, № 1, 1—10 (англ.)

Л1.

Методом разностно-частотной лазерной спектроскопии в области основных полос  $\nu_1$  и  $\nu_3$  изучен ИК-спектр поглощения молекулярных ионов  $H_2Cl^+$ , образованных посредством электрич. разряда в смеси  $HCl : H_2$ . С точностью  $\sim 0,001 \text{ см}^{-1}$  в области  $2525—2755 \text{ см}^{-1}$  измерены положения  $\sim 1100$  колебательно-вращательных линий ионов  $H_2^{35}Cl^+$  и  $H_2^{37}Cl^+$ . В результате колебательно-вращательного анализа с учетом взаимодействия Кориолиса между  $\nu_1$  и  $\nu_3$  представлена интерпретация наблюдаемого спектра. Определены значения молекулярных постоянных ионов для основного и возбужденных колебательных состояний и геометрич. параметры равновесной конфигурации ионов. Библ. 43.

В. К.

phi, 1988, N 12

$H_2Cl^+$

Om. 29402

1988

Р 16 Б1249. Микроволновый спектр иона  $H_2Cl^+$ . The microwave spectrum of the  $H_2Cl^+$  ion. Saito S., Yamamoto S., Kawaguchi K. «J. Chem. Phys.», 1988, 88, № 4, 2281—2283 (англ.)

В диапазоне 270—500 ГГц измерена СТС четырех вращат. переходов ( $1_{11}-0_{00}$ ,  $2_{20}-2_{11}$ ,  $2_{11}-2_{02}$ ,  $3_{21}-3_{12}$ ) иона  $H_2Cl^+$ . Ионы получались при пропускании смеси  $HCl/H_2/\text{Не}$  через разрядный источник с полым катодом постоянного тока. Ионы идентифицированы на основании анализа СТС переходов по хлору. Подтверждением образования ионов в полом катоде является также возрастание интенсивности линий при наложении внешнего магн. поля. Значения вращат. постоянных и параметров ядерного квадрупольного взаимодействия иона (в МГц):  $A = 337353,229$ ,  $B = 273586,425$ ,  $C = -148100,004$ ,  $\Delta_{y,k} = -71,814$ ,  $\chi_{aa} = -53,44$ ,  $\chi_{bb} = -15,71$ ,  $\chi_{cc} = 69,15$ . В свете полученных результатов обсужден характер связи  $H-Cl$  в ионе. В. М. Ковба

М.Н.

Х. 1988, 19, N 16

$H_2Cl^+$

(Om. 29402) 1988

} 8 Л168. Микроволновый спектр иона  $H_2Cl^+$ . The microwave spectrum of the  $H_2Cl^+$  ion. Saito Shuji, Yamamoto Satoshi, Kawaguchi Kentarou. «J. Chem. Phys.», 1988, 88, № 4, 2281—2283 (англ.)

В области 270—500 ГГц зарегистрированы вращательные переходы  $1_{11}-0_{00}$ ,  $2_{20}-2_{11}$ ,  $2_{11}-2_{02}$  и  $3_{21}-3_{12}$  молекулярного иона  $H_2Cl^+$ . Идентификация иона выполнена по сверхтонкой структуре, обусловленной ядром атом Cl. Отнесение линий к молекулярному иону подтверждено зависимостью интенсивности линий от магн. поля. Определены вращательные постоянные, постоянная центробежного искажения, постоянные квадрупольного взаимодействия для ядра Cl.

Е. А. Ж.

φ. 1988, 18, N 8

$H_2Cl^+$

Om 29402

1988

109: 63470t The microwave spectrum of the chloronium ( $H_2Cl^+$ ) ion. Saito, Shuji; Yamamoto, Satoshi; Kawaguchi, Kentaro (Fac. Sci., Nagoya Univ., Nagoya, Japan 464). *J. Chem. Phys.* 1988, 88(4), 2281-3 (Eng). Four rotational transitions of the  $H_2Cl^+$  ion were obsd. in the frequency region 270-500 GHz by using a source-modulated microwave spectrometer combined with a hollow cathode free space cell. The  $H_2Cl^+$  ion was generated by a d.c. discharge in a mixt. of HCl, H<sub>2</sub>, and He. The ion was identified on the basis of the hyperfine structure of the Cl nucleus. This was further confirmed by the observation of the line intensity decrease with external magnetic field, which is a characteristic of ions in a hollow cathode discharge. The rotational consts. A, B, and C, and the centrifugal distortion const.  $\Delta_{JK}$  were detd. The nuclear quadrupole coupling consts. of the Cl nucleus were obtained for the 1st time:  $\chi_{aa} = -53.44(47)$  MHz,  $\chi_{bb} = -15.71(50)$  MHz, and  $\chi_{cc} = 69.15(70)$  MHz with 3 std. errors in parentheses. The character of the H-Cl bond orbital is estd. from the obsd. nuclear quadrupole coupling consts. and the mol. structure.

No Cheaps,

M.N.

C.A.1988, 109, N8

*H<sub>2</sub>Cl*

*1989*

У4 Б1025. Глобальные поверхности потенциальной энергии для H<sub>2</sub>Cl. Global potential-energy surfaces for H<sub>2</sub>Cl / Schwenke D. W., Tucker S. C., Steckler R., Brown F. B., Lynch G. C., Truhlar D. G., Garrett B. C. // J. Chem. Phys. — 1989. — 90, № 6. — С. 3110—3120.  
— Англ.

*III. 1.*  
Рассчитана Пв потенциальной энергии (ППЭ) для основного состояния молекулы H<sub>2</sub>Cl, охватывающая широкие обл. изменения внутренних координат и предназначеннная для использования при анализе возможных р-ций присоединения и обмена в данной системе. Варианты ППЭ получены на основе неэмпирических расчетов с последующей экстраполяцией энергии, учитывающей, т. н., масштабированную внешнюю корреляцию. Параметр масштабирования выбирается с привлечением эксперим. данных по энергии диссоциации (в данном случае для H<sub>2</sub> и HCl). Исходный расчет

*X. 1990, N<sup>Ч</sup>*

методами многоконфигурац. ССП и конфигурац. взаимодействия с учетом одно- и двукратных возбуждений выполнен с использованием базисов  $(18s11p4d1f)/[12s7p4d1f]$  для Cl и  $(6s3p1d)/[4s3p1d]$  для H. Предложенные два варианта ППЭ различаются аппроксимацией сечения Пв' вдоль деформац. координаты H—Cl—H. Вычислены основные х-ки переходных состояний, а также барьеры на путях р-ций. Даны оценки констант скоростей р-ций  $H+DCl \rightarrow HD+Cl$  и  $H+DCl \rightarrow HCl+D$ .

А. В. Немухин

$\text{H}_2\text{Cl}^+$  (DM 3437) 1990

Li Y., Wang X., Jensen F.  
et al.

J. Amer. Chem. Soc., 1990,  
112, N 10, 3922 - 3926.

Energies and Properties of  
Ions Involved in Electrophilic  
Halogenations: Singlet and

Triplet states of Halogen Cations ( $X^+$ ,  $X_3^+$ , and  $X_4^{2+}$ ) and Hydrohalonium Ions ( $HX_2^+$  and  $H_2X^+$ ).

$\text{CH}_2^-$

1990

Ortiz J.V.

J. Phys. Chem. 1990.

ll. n. 94, N 12. C. 4762 -

4763.

(cell.  $\text{OH}_3^-$ ;  $\text{II}$ )

H<sub>2</sub> ll+      Om. 35497      1991

Blenewinkel-Meyer Th.,  
Romers, Ch. Ottinger et al.,  
Hessmeier,  
Bopp  
Prahl Chem. Phys. 1991, 152,  
N 3, 409 - 427.  
MRCI potential energy func-

tions for the charge transfer reactions  $H^+ + HCl(X^2\sigma^-) \rightarrow H + HCl^+ (X^2\Pi_i, A^2\Sigma^+)$ .

$H_2 Cl^+$

1991

10 Б1121. Модель двухатомных фрагментов в молекулах для поверхностей потенциальной энергии состояний  $'A'$   $H_2 Cl^+$ . A diatomics-in-molecules model for the ' $A'$  potential energy surfaces of  $H_2 Cl^+$  / Kuntz P. J., Roach A. C., Hirsh D. M. // J. Phys. Chem.— 1991.— 95, № 21.— С. 8364—8370.— Англ.

Методом двухатомных фрагментов в молекулах рассчитаны потенциальные поверхности (ПП) ряда низших электронных состояний типа  $'A'$  иона  $H_2 Cl^+$ . Модельный гамильтониан построен с использованием 10 базисных ф-ций без включения каких-либо подгночных параметров для трехатомной молекулы. Метод позволил воспроизвести форму трех низших ПП, рассчитанных точными неэмпирич. методами. Полученные ПП использованы для описания пути р-ции  $H^+ + HCl (X^1\Sigma^+) \rightarrow H + HCl^+ (A^2\Sigma^+)$ . Рассчитано положение конич. пересечения второй и третьей поверхности и обсуждено его влияние на динамику реакции. А. А. Сафонов

М.Н.

X. 1992, N 10

$H_2 Cl^+$

1998

130: 173283a Structure and potential energy function for the  $H_2Cl^+ (X^1A_1)$  system. Wang, Fanhou; Jiang, Gang; Jing, Fuqian; Zhong, Yanping; Zhu, Zhenghe (Lab. Shock Wave & Detonation Physics Research, Southwest Institute Fluid Physics, CAEP, Chengdu, Peop. Rep. China 523-61). *Yuanzi Yu Fenzi Wuli Xuebao* 1998, 15(4), 501-505 (Ch), *Yuanzi Yu Fenzi Wuli Xuebao Bianjibu*. Anal. potential energy function for the ground state of  $H_2Cl^+$  is derived by the many body expansion method using its equil. geometry, dissociation energy and harmonic force consts. calcd. with CID/6 - 311G. The potential surface of  $H_2Cl^+ (X^1A_1)$  has a saddle point on the  $Cl + H_2^+$  channel with a barrier of 0.5 eV.

$X^1A_1$   
cmpl-pa k  
P-wl

romers. sum  
P.A. 1999, 130, N13

2000

F: Cl-H<sub>2</sub>

P: 3

134:287151 Rotationally resolved infrared spectrum of the Cl-H<sub>2</sub> anion complex. Wild, D. A.; Wilson, R. L.; Weiser, P. S.; Bieske, E. J. School of Chemistry, The University of Melbourne, Parkville, Australia. J. Chem. Phys. (2000), 113(22), 10154-10157. in English.

The mid-IR spectrum of the <sup>37</sup>Cl--H<sub>2</sub> anion complex has been measured over the 3990-4050 cm<sup>-1</sup> range (H-H stretch region) using IR vibrational predissocn. spectroscopy. The spectrum features a well resolved  $\Sigma$ - $\Sigma$  transition red shifted by 156 cm<sup>-1</sup> from the free H<sub>2</sub> mol. stretch. Anal. of the P and R branch line positions using a linear mol. energy level expression yields  $\nu_0=4004.77\pm0.08$  cm<sup>-1</sup>,  $B''=0.853\pm0.002$

$\text{cm}^{-1}$ ,  $D''=(9.3\pm1.0)\times10^{-5}\text{cm}^{-1}$ ,  $B'=0.919\pm0.002\text{ cm}^{-1}$ , and  $D'=(9.0\pm1.0)\times10^{-5}\text{ cm}^{-1}$ . The Cl--H<sub>2</sub> complex appears to have a linear equil. structure, with a vibrationally averaged sepn. of 3.19 .ANG. between the Cl- and the H<sub>2</sub> center-of-mass. Vibrational excitation of the H-H stretch induces a 0.12 .ANG. contraction in the intermol. bond.

2007

Cl-H<sub>2</sub>

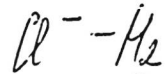
Aquilanti, Vincenzo; et al.;

J. Phys. Chem. A 2007,  
105 (11), 2401-2409

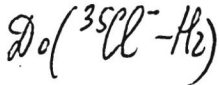
aomelis.  
rofexx.,  
meopen-  
paem

(all.      ●      F-H<sub>2</sub>; II)

2001



UK CREST



135: 248788h The  $^{35}\text{Cl}^- - \text{H}_2$  and  $^{35}\text{Cl}^- - \text{D}_2$  anion complexes: Infrared spectra and radial intermolecular potentials. Wild, D. A.; Weiser, P. S.; Bieske, E. J.; Zehnacker, A. (School of Chemistry, The University of Melbourne, Parkville, 3010 Australia). *J. Chem. Phys.* 2001, 115(2), 824-832 (Eng), American Institute of Physics. Rotationally resolved mid-IR spectra of the  $^{35}\text{Cl}^- - \text{H}_2$  and  $^{35}\text{Cl}^- - \text{D}_2$  anion complexes are measured in the regions assocd. with the  $\text{H}_2$  and  $\text{D}_2$  stretch vibrations. The  $^{35}\text{Cl}^- - \text{H}_2$  spectrum contains a single  $\Sigma - \Sigma$  transition assigned to the more abundant ortho  $\text{H}_2$  contg. species. The corresponding  $^{35}\text{Cl}^- - \text{D}_2$  spectrum consists of two overlapping  $\Sigma - \Sigma$  transitions whose origins are sep'd. by  $0.24 \text{ cm}^{-1}$ , and which are due to absorptions by complexes contg. para and ortho  $\text{D}_2$ . The spectra are consistent with linear equil. structures for  $\text{Cl}^- - \text{H}_2$  and  $\text{Cl}^- - \text{D}_2$ , although zero-point bending vibrational excursions are expected to be substantial. Ground

C.A. 2001, 135, N17

state vibrationally averaged intermol. sepn. between  $\text{Cl}^-$  and the diat. center-of-mass are deduced to be  $3.195 \pm 0.003\text{\AA}$  ( $^{35}\text{Cl}^- - \text{H}_2$ ) and  $3.159 \pm 0.002\text{\AA}$  ( $^{35}\text{Cl}^- - \text{D}_2$ ). Vibrational excitation of the diat. core profoundly affects the intermol. interaction and leads to contractions of  $0.118\text{\AA}$  ( $^{35}\text{Cl}^- - \text{H}_2$ ) and  $0.078\text{\AA}$  ( $^{35}\text{Cl}^- - \text{D}_2$ ) in the vibrationally averaged intermol. sepn. Effective one-dimensional radial potential energy curves are developed. Their form near the equil. sepn. is detd. by Rydberg-Klein-Rees inversion of the spectroscopic data, and at longer ranges by averaging the dominant long range electrostatic and induction potentials over the angular motion of the atom-diat. system. On the basis of these potentials the dissocn. energies for  $^{35}\text{Cl}^- - \text{H}_2(o)$ ,  $^{35}\text{Cl}^- - \text{D}_2(p)$ , and  $^{35}\text{Cl}^- - \text{D}_2(o)$  are estd. as 488, 499, and  $559\text{ cm}^{-1}$ .

